

УДК 535.375.5 : 539.19

РЕЗОНАНСНОЕ КОМБИНАЦИОННОЕ РАССЕЯНИЕ
КОМПЛЕКСОВ МОЛЕКУЛЯРНОГО АЗОТА
С ДИЦИКЛОПЕНТАДИЕНИЛЬНЫМИ СОЕДИНЕНИЯМИ
ТРЕХВАЛЕНТНОГО ТИТАНА

Л. М. Качапина, Г. А. Кичигина и Т. А. Баженова

Изучено резонансное комбинационное рассеяние света (РКРС) комплексов молекулярного азота с дициклопентадиенильными соединениями Ti^{3+} в области интенсивных переходов $^1B_u \leftarrow ^1A_g$ с энергией ~ 2.1 эВ. Резонансное усиление качательных колебаний циклопентадиенильных колец и колебаний металла—цикlopентадиенильное кольцо и металл—азот при возбуждении РКРС вблизи максимума полосы поглощения 2.1 эВ свидетельствует о многоцентровом характере этого перехода и значительном переносе электронной плотности от атома Ti к циклопентадиенильным кольцам и координированному N_2 .

Биядерные комплексы молекулярного азота с дициклопентадиенильными соединениями трехвалентного титана $Ti^{3+} (Cp_2TiR)_2N_2$ (где $Cp = \eta^5-C_5H_5$; R — алкильный или арильный радикалы) в электронном

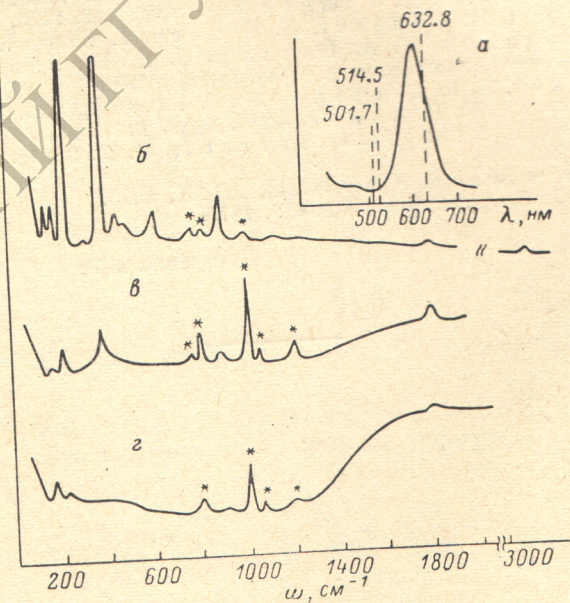


Рис. 1.

a — электронный спектр поглощения комплекса $(Cp_2TiPh)_2N_2$ в области 400–700 нм. Штриховыми линиями показаны положения возбуждающих линий. *b*–*e* — резонансные спектры КР комплекса $(Cp_2TiPh)_2N_2$ для $\lambda_{возб.} = 632.8, 514.5, 501.7$ нм соответственно. Концентрация $\sim 3 \cdot 10^{-3}$ м.л.⁻¹ в этил-бензол-толуольном (0.5 : 0.5) растворе, $T = -120^\circ\text{C}$. Звездочками отмечены полосы, относящиеся к растворителям (этилбензолу и толуолу).

спектре поглощения имеют интенсивную полосу ($\epsilon \sim 10^4$ л.моль⁻¹·см⁻¹) в области 600 нм (2.1 эВ) (рис. 1, *a*), положение и интенсивность которой незначительно меняются в зависимости от природы радикала [1, 2].

В то же время исходные моноядерные комплексы Cp_2TiR проявляют в этой области очень слабое поглощение ($\varepsilon \sim (2 \div 4) \cdot 10^1 \text{ л} \cdot \text{моль}^{-1} \cdot \text{см}^{-1}$) [3], по энергии и силе осциллятора характерное для $d-d$ -переходов Ti^{3+} , слабо разрешенных за счет нецентросимметричного расположения лигантов либо вибронного взаимодействия [4]. На основании модельного расчета электронной структуры $(\text{Cp}_2\text{TiH})_2\text{N}_2$ авторы [5] отнесли интенсивный переход ~ 2.1 эВ в биядерных комплексах к разрешенному по четности переходу между уровнями a_g и b_u (рис. 2), являющимся комбинациями расщепленных $1a_1$ орбиталей двух атомов Ti с π -орбиталями мостиковой молекулы N_2 .

Как показано в последнее время, из-за селективности возбуждения (резонансно усиливаются только колебания атомов хромофорных групп) и чувствительности колебательного спектра к структуре, весьма эффективным методом для исследования природы электронных переходов в металло-комплексных соединениях является спектроскопия резонанс-

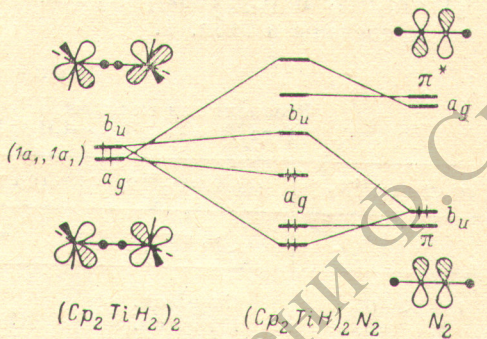


Рис. 2. Схема молекулярных орбиталей $\text{trans}-(\text{Cp}_2\text{TiH})_2\text{N}_2$.

ного комбинационного рассеяния света (РКРС) [6, 7], когда спектр КР возбуждается излучением, попадающим в полосу поглощения исследуемого соединения [8]. Исследование спектров КР комплексов $(\text{Cp}_2\text{TiR})_2\text{N}_2$ также представляло интерес в связи с тем, что координированная молекула N_2 в этих соединениях в отличие от большого класса комплексов молекулярного азота [9] способна к дальнейшему восстановлению [1, 2]. Однако нормальное колебание, относимое к колебанию связи NN, характеризующее состояние этой связи, в ИК спектрах этих комплексов не проявляется.

В настоящей работе мы сообщаем о наблюдении РКРС биядерными комплексами молекулярного азота $(\text{Cp}_2\text{TiR})_2\text{N}_2$ ($\text{R} = -\text{C}_6\text{H}_5, -\text{CH}_2\text{C}_6\text{H}_5$) и использовании метода спектроскопии РКРС для выяснения природы интенсивного электронного перехода в области 600 нм в комплексах $(\text{Cp}_2\text{TiR})_2\text{N}_2$.

Экспериментальная часть

Спектры РКРС регистрировали по методике на отражение на спектрометре Coderg-PHO в режиме счета фотонов с охлаждаемым ФЭУ-79 [10]. Для возбуждения РКРС использовали линии 632.8 нм Не—Не лазера Sp—Ph 125 А и 514.5, 501.7, 496.5 и 488.0 нм Ar^+ лазера Sp—Ph 165 фирмы Спектра—Физикс. Электронные спектры поглощения регистрировали на спектрофотометре Unicam Sp 800. Комpleксы $(\text{Cp}_2\text{TiR})_2\text{N}_2$ термически неустойчивы и чрезвычайно чувствительны к следам кислорода и влаги, поэтому все приготовления образцов проводили при температуре $-25 \div -150^\circ\text{C}$ в отсутствие кислорода и влаги в атмосфере азота (комплекса $(\text{Cp}_2\text{TiR})_2^{15}\text{N}_2$ в атмосфере $^{15}\text{N}_2$). Для регистрации спектров использовали криостат фирмы Coderg и герметичные жидкостные кюветы. Образцы брали в виде толуольных либо толуол-этилбензольных (0.5 : 0.5 и 0.25 : 0.75 объемных частей) растворов комплексов $(\text{Cp}_2\text{TiR})_2\text{N}_2$ с концентрацией $(2 \div 3) \cdot 10^{-2} \text{ м} \cdot \text{l}^{-1}$, синтезированных по модифицированным методикам [2]. Регистрацию спектров КР вели при температурах $-120 \div -150^\circ\text{C}$, при которых образцы представляли собой застеклованные твердые растворы. Об отсутствии термического или фотохимического разложения образцов свидетельствовали обратимый характер зависимости спектров от температуры и их неизменность при многократном сканиро-

вании. Для оценки относительных интенсивностей линий КР $S_{\text{отн}}$ в качестве внутреннего стандарта использовали линии 786 и 1004 см⁻¹ толуола, во всех случаях учитывались поправки на спектральную чувствительность прибора, коэффициент поглощения и зависимость от ω^4 по известной формуле [11].

Экспериментальные результаты и обсуждение

Спектры КР. Полученные спектры РКР комплекса $(\text{Cp}_2\text{TiPh})_2\text{N}_2$ ($\text{Ph}=\text{C}_6\text{H}_5$) с возбуждающими линиями 632.8, 514.5, 501.7 нм показаны на рис. 1, б-г. Наиболее интенсивные и богатые линиями спектры КР наблюдаются при возбуждении вблизи максимума полосы поглощения ($\lambda_{\text{max}}=614$ нм) с $\lambda_{\text{возб.}}=632.8$ нм. Эти спектры для $(\text{Cp}_2\text{TiPh})_2^{14}\text{N}_2$, $(\text{Cp}_2\text{TiPh})_2^{15}\text{N}_2$ и $(\text{Cp}_2\text{TiBz})_2^{14}\text{N}_2$ ($\text{Bz}=\text{CH}_2\text{C}_6\text{H}_5$) и их качественное описание приведены в табл. 1.

Таблица 1

Резонансные спектры КР комплексов $(\text{Cp}_2\text{TiR})_2\text{N}_2$
(где R = $-\text{C}_6\text{H}_5$, $-\text{CH}_2\text{C}_6\text{H}_5$) ($\lambda_{\text{возб.}}=632.8$ нм)

$(\text{Cp}_2\text{TiPh})_2^{14}\text{N}_2$	$(\text{Cp}_2\text{TiPh})_2^{15}\text{N}_2$	$(\text{Cp}_2\text{TiBz})_2^{14}\text{N}_2$	Отнесение
			$\omega, \text{см}^{-1}$
156 \pm 5 ср.	156 \pm 5 сл.	177 \pm 5 сл.	$\nu(\text{Ti}-\text{N})?$
176 \pm 5 ср.	177 \pm 5 сл.	228 \pm 1 оч. с.	$\nu(\text{Ti}-\text{Cp}), \nu_4(A_{1g})$
230 \pm 1 оч. с.	230 \pm 3 оч. с.		
294 \pm 3 сл.			
329 \pm 3 сл.			
389 \pm 1 оч. с.	389 \pm 3 оч. с.	399 \pm 1 оч. с.	$\nu(\text{Cp} \text{ качат.}), \nu_{16}(E_g)$
456 \pm 5 ср.	441 \pm 5 ср.		$\pi^{YZ}(\text{Ti}-\text{N}-\text{N})$
491 \pm 5 сл.			
620 \pm 3 ср.	620 \pm 3 ср.	620 \pm 5 ср.	$\delta^{XZ}(\text{Ti}-\text{N}-\text{N})$
894 \pm 1 ср.	873 \pm 3 ср.	874 \pm 5 ср.	$\nu(\text{CC})\text{Cp}, \nu_3(A_{1g})$
1135 \pm 5 сл.			$\delta(\text{CCH})\text{Cp}, \nu_{24}(E_{2g})$
1280 \pm 5 оч. сл.			$\nu(\text{N}-\text{N})$
1804 \pm 5 оч. сл.	1751 \pm 5 сл.	1799 \pm 5 ср.	$\nu(\text{C}-\text{H})\text{Cp}, \nu_1(A_{1g})$
3130 \pm 5 сл.			

Молекулярная структура изученных комплексов с R=Ph, Bz в настоящее время не известна. Однако, согласно [12], молекула $(\text{Cp}_2\text{TiR})_2\text{N}_2$ (где R= $p\text{-C}_6\text{H}_4\text{CH}_3$) состоит из двух симметрично расположенных групп Cp_2TiR , связанных линейно координированной к атомам Ti^{3+} молекулой азота, расположенной таким образом, что фенильные кольца, атомы титана обеих групп Cp_2TiR и мостик N_2 лежат в одной плоскости (ХОZ). Поскольку многие физико-химические свойства комплексов $(\text{Cp}_2\text{TiR})_2\text{N}_2$ для R= $p\text{-C}_6\text{H}_4\text{CH}_3$ и R= C_6H_5 и $\text{CH}_2\text{C}_6\text{H}_5$ практически одинаковы [2], можно думать, что молекулярные структуры их аналогичны. Можно полагать также, что молекулярная структура этих комплексов в растворе существенно не меняется по сравнению с кристаллическим состоянием и симметрия комплексов в растворе не ниже, чем в кристалле. Таким образом, комплексы $(\text{Cp}_2\text{TiR})_2\text{N}_2$ содержат функциональные группы трех различных типов: цикlopентадиенильные кольца $\eta^5-\text{C}_5\text{H}_5$; фенильные — C_6H_5 или бензильные — $\text{CH}_2\text{C}_6\text{H}_5$ группы и мостиковую молекулу N_2 ($\angle \text{TiNN}=176.5^\circ$). Рассмотрим последовательно колебания, относящиеся к каждой функциональной группе (внутрилигандные и внешние металлиганд), принимая во внимание, что в спектрах КР этих комплексов, имеющих симметрию C_{2h} , активны только A_g - и B_g -моды.

1. Колебания Ср-колец. Отнесение линий КР к колебаниям, связанным с цикlopентадиенильными кольцами, может быть сделано по аналогии со спектрами целого ряда дициклопентадиенильных комплексов металлов [13-16]. Наиболее интенсивные линии в спектрах при $\lambda_{\text{возб.}}=$

=632.8 нм в области 230 и 380–400 см⁻¹ (рис. 1, б) являются, по-видимому, полносимметричным валентным колебанием титан—Ср-кольцо и качательным колебанием Ср-кольца соответственно (в симметрии D_{5d} металлоценов Cp₂M эти колебания обозначены как $\nu_4(A_{1g})$ и $\nu_{16}(E_g)$ [13] соответственно). По-видимому, к «внутренним» колебаниям Ср-кольца относятся слабые линии: 1135 см⁻¹ [пульсационное $\nu_3(A_{1g})$ в симметрии D_{5d}], 3130 см⁻¹ (валентное С—Н-колебание, $\nu_1(A_{1g})$), 1280 см⁻¹ (плоское деформационное С—С—Н, $\nu_{24}(E_{2g})$) [13, 14].

2. Колебания N₂. Отнесение нормальных колебаний фрагмента TiN₂Ti к определенным валентным или деформационным колебаниям в большой степени является условным, поскольку формы этих колебаний представляют собой линейные комбинации колебаний нескольких связей и углов [17], и нормальное колебание обозначается по преимущественному вкладу в его форму естественных координат. Для плоского фрагмента Ti₁—N₁—N₂—Ti₂ с углами $\angle \text{TiNN}=176.5^\circ$ симметрии C_{2h} по правилам отбора в спектре КР должны проявляться только полносимметричные A_g валентные колебания связей азот—азот $\nu_{A_g}(\text{NN})$ и титан—азот $\nu_{A_g}(\text{TiN})$ и деформационное колебание углов $\angle \text{TiNN} \delta_{A_g}^{xz}(\text{TiNN}): \Gamma_{c_{2h}}=3A_g^{\text{КР}} +$

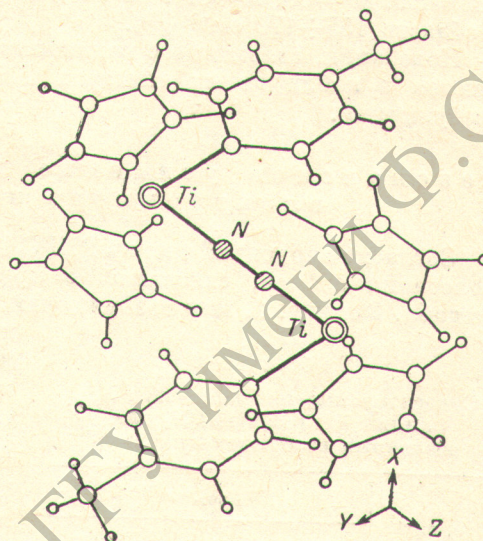


Рис. 3. Молекулярная структура комплекса Cp₂Ti(*p*-CH₃—C₆H₄)_n.

+2B_{1g}. Кроме плоских колебаний, в спектрах КР комплекса (Cp₂TiR)₂N₂ также может быть активно полносимметричное внеплоскостное деформационное колебание, происходящее в плоскости YOZ $\pi_{A_g}^{yz}$ (TiNN), которое меняет положение плоскости фрагмента TiNNTi относительно остальных связей и углов в молекуле (Cp₂TiR)₂N₂, практически не меняя величин углов между связями титан—азот и азот—азот.

Сравнение спектров КР комплексов (Cp₂TiR)₂N₂ для ¹⁴N₂ и ¹⁵N₂ (табл. 1) показывает, что изотопное понижение частот испытывают линии 1804 (1751 см⁻¹ для ¹⁵N₂), 894 см⁻¹ (873 см⁻¹ для ¹⁵N₂) и 456 см⁻¹ (442 см⁻¹ для ¹⁵N₂), которые можно отнести к A_g плоским валентному $\nu(\text{NN})$ и деформационному $\delta^{xz}(\text{TiNN})$ и внеплоскостному деформационному $\pi^{yz}(\text{TiNN})$ колебаниям соответственно.

Частота 1804 см⁻¹, поникающаяся на 3.3% при замене ¹⁴N₂ на ¹⁵N₂, отнесенная к $\nu(\text{NN})$, хорошо согласуется как со способностью координированного азота к дальнейшему восстановлению [2], так и с длиной связи азот—азот, равной 1.162 Å [12, 18+21].

Очевидно, частоты полносимметричных деформационных колебаний в плоскостях XOZ и YOZ $\delta_{A_g}^{xz}(\text{TiNN})$ и $\pi^{yz}(\text{TiNN})$ будут различны, поскольку пространственное окружение атомов N в этих плоскостях различно (рис. 3). В плоскости XOZ атомы водорода фенильных групп расположены довольно близко к атомам азота ($l_{\text{N...H}} \approx 2.3$ Å), что может привести к значительному увеличению частоты деформационного колебания $\delta^{xz}(\text{TiNN})$ в этой плоскости. Циклопентадиенильные кольца довольно далеко отстоят от атомов азота, и деформационное колебание $\pi^{yz}(\text{TiNN})$ в плоскости YOZ должно иметь частоту в области 400–530 см⁻¹, харак-

терной для δ (MNN) в линейных комплексах молекулярного азота с фрагментами MN_2M [22] и MN_2 [23]. Учитывая это и наблюдаемое изотопное смещение, мы отнесли полосы 894 и 456 см^{-1} к $\delta_{A_g}^{xz}$ (TiNN) и $\pi_{A_g}^{yz}$ (TiNN). Заметим, что самое высокочастотное деформационное колебание δ (TiNN) 714 см^{-1} наблюдалось для матричного комплекса $Ti(N_2)_6$ [24].

Как показывает модельный расчет колебаний фрагмента $Ti-N-N-Ti$ с углами $\angle TiNN$ от 180 до 160° и силовыми постоянными связей NN от 16 до 24 см^{-2} и $Ti-N$ от 4 до 8 см^{-2} , колебание ν_{A_g} (TiNN) имеет довольно низкую частоту и не испытывает изотопного смещения. Следовательно, одна из наблюдаемых линий КР 156 или 176 см^{-1} в спектре КР комплекса $(Cp_2TiR)_2N_2$ может принадлежать ν_{A_g} (TiN). Например, в линейных биядерных комплексах $[(NH_3)_5M - N_2 - M^1(NH_3)_5] X_4$ (где $M=M^1=Ru$ и $M=Ru$, $M^1=Os$, $X=Cl^-$, Br^- , J^- , BF_4^-) к ν_{A_g} ($M-N_2$) отнесены линии КР в области 155–170 см^{-1} [22].

Колебания, связанные с радикалами R ($R=Ph$, Bz) [25, 26], не проявляются в наблюдаемых спектрах РКР, очевидно, из-за селективности возбуждения.

Резонансное усиление в спектрах и природа электронного перехода 600 нм

Согласно вибронной теории РКРС [6, 7, 27, 28], резонансно усиливаются колебания атомов, связанных с хромофорными группами. Как видно из табл. 2 и рис. 1, при возбуждении комплексов $(Cp_2TiR)_2N_2$ в пределах контура полосы поглощения ~600 нм резонансное усиление испытывают как колебания металла–лиганд ($\nu_{16}(E_g)$, $\nu_4(A_{1g})$, δ_{A_g} (TiNN) и ν_{A_g} (TiN)), так и внутрилигандные [$\nu_3(A_{1g})$, $\nu_1(A_{1g})$ и $\nu_{A_g}(NN)$] для лигандов C_5H_5 -кольца и N_2 .

Исследования РКРС большого числа комплексов переходных металлов с лигандами различных типов показывают, что вид спектра РКРС зависит от характера возбуждающего электронного перехода [6, 7].

В работе [5] на основании модельного расчета $(Cp_2TiH)_2N_2$ переход при 600 нм отнесен к $^1B_u \leftarrow ^1A_{1g}$ $[\dots (a_g)^2 \rightarrow \dots (a_g)^1 (b_u)^1]$, где орбитали a_g и b_u являются связывающей и разрыхляющей комбинациями Cp_2TiL_2 , расщепленными вследствие дифференциального взаимодействия с π_u и π_g^* -орбиталями мостикового N_2 (рис. 2). Для группы Cp_2TiL_2 орбиталь $1a_1$ ($0.51dx^2y^2 + 0.30dz^2 + 0.18\pi Cr(e_g)$) является преимущественно орбиталью металла, взаимодействующей с e_g -орбиталями Ср-колец [29]. Таким образом, орбитали a_g и b_u ($Cp_2TiR)_2N_2$ являются четной и нечетной комбинациями орбиталей $d_{x^2y^2}$; $d_{z^2}Ti$; πCr ; π_u и $\pi_g^* N_2$ соответственно. Так как орбиталь b_u является связывающей относительно связей NN и Ti–Cr и разрыхляющей относительно связей Ti–N и Cr-колец, то при ее заселении будет происходить перенос электронной плотности в области связей NN и Ti–Cr, что и вызовет резонансное усиление колебаний этих связей. Причем изменение плотностей на связях Ti–Cr наибольшее, поскольку наибольшие факторы резонансного усиления наблюдаются для $\nu_4(A_{1g})$ и $\nu_{16}(E_g)$ колебаний металла–кольцо.

$\omega, \text{см}^{-1}$	$\lambda_{\text{возб.}}, \text{нм}$		
	632.8	514.5	501.7
156	3.3		1.5
176	6.5		
230	34.0	4.2	
389	48.4	4.5	
456	3.7		
491	2.7		
620	5.2		
894	7.0	5.7	0.7
1135	1.7		
1804	1.8	1.2	1.0

$1a_1$ уровней от каждого центра Cp_2TiL_2 , расщепленными вследствие дифференциального взаимодействия с π_u и π_g^* -орбиталями мостикового N_2 (рис. 2). Для группы Cp_2TiL_2 орбиталь $1a_1$ ($0.51dx^2y^2 + 0.30dz^2 + 0.18\pi Cr(e_g)$) является преимущественно орбиталью металла, взаимодействующей с e_g -орбиталями Ср-колец [29]. Таким образом, орбитали a_g и b_u ($Cp_2TiR)_2N_2$ являются четной и нечетной комбинациями орбиталей $d_{x^2y^2}$; $d_{z^2}Ti$; πCr ; π_u и $\pi_g^* N_2$ соответственно. Так как орбиталь b_u является связывающей относительно связей NN и Ti–Cr и разрыхляющей относительно связей Ti–N и Cr-колец, то при ее заселении будет происходить перенос электронной плотности в области связей NN и Ti–Cr, что и вызовет резонансное усиление колебаний этих связей. Причем изменение плотностей на связях Ti–Cr наибольшее, поскольку наибольшие факторы резонансного усиления наблюдаются для $\nu_4(A_{1g})$ и $\nu_{16}(E_g)$ колебаний металла–кольцо.

Заключение

Полученные РСКР комплексов $(\text{Cp}_2\text{TiR})_2\text{N}_2$ подтверждают отнесение электронного перехода 600 нм к ${}^1B_u \leftarrow {}^1A_g$, происходящему с переносом электронной плотности от Ti к Ср-кольцам и координированному N_2 . Значения частот колебаний центрального фрагмента $\text{Ti}-\text{N}-\text{N}-\text{Ti}$ хромофорной группировки хорошо согласуются с особенностями молекулярной структуры комплексов.

Авторы выражают благодарность А. Ф. Шестакову за полезные дискуссии.

Литература

- [1] А. Е. Шилов, А. К. Шилова, Е. Ф. Квашина. Кинетика и катализ, 10, 1402, 1969.
- [2] J. H. Teuben. J. Organomet. Chem., 57, 159, 1973.
- [3] J. H. Teuben. Proefschrift ter verkrijging van het doctoraat in de Wijskunde en Naturwetenschappen. Groningen, 1973.
- [4] A. D. Liehr. Advances in Chemical Physics. Ed. I. Prigogine, Vol. 5, p. 241, N. Y.—London, 1963.
- [5] Р. Хофман, Д. Л. Торн, А. Е. Шилов. Коорд. хим., 3, 1261, 1978.
- [6] П. Шорыгин. Усп. химии, 47, 1697, 1978.
- [7] T. G. Spiro, P. Stein. Ann. Rev. Phys. Chem., 28, 501, 1977.
- [8] П. П. Шорыгин. Усп. физ. наук, 109, 293, 1973.
- [9] Ю. Г. Бородько, А. Е. Шилов. Усп. химии, 38, 761, 1969.
- [10] А. В. Полетаев, З. С. Шмурак. Авт. свид. № 603812.
- [11] И. Брандмюллер, Г. Мозер. Введение в спектроскопию комбинационного рассеяния света. «Мир», М., 1964.
- [12] J. D. Z einstru, J. H. Teuben, F. Jellinek. J. Organomet. Chem., 170, 39, 1979.
- [13] E. R. Lippincott, R. D. Nelson. Spectrochim. Acta, 10, 307, 1958.
- [14] V. T. Aleksanjan, B. V. Lokshin. J. Organomet. Chem., 131, 113, 1977.
- [15] D. M. Adams, W. S. Fernandi. J. Chem. Soc., Dalton Trans., 2507, 1972.
- [16] V. T. Aleksanjan, B. V. Lokshin, G. K. Borisov, G. G. Devyatkin, A. S. Smirnov, R. V. Nazarova, J. A. Koningsstein, B. F. Gächter. J. Organomet. Chem., 124, 293, 1977.
- [17] Л. М. Качапина. Автореф. канд. дис., М., 1972.
- [18] I. M. Teitel, M. T. Flood, R. E. Marsh, H. B. Gray. J. Am. Chem. Soc., 91, 6512, 1969.
- [19] Л. М. Качапина, Ю. Г. Бородько, А. В. Сажникова, И. А. Захарова, Т. В. Бутенкова, В. С. Лененко. Ж. структ. хим., 15, 37, 1974.
- [20] J. Manriquez, J. F. Bergaw. J. Am. Chem. Soc., 96, 6229, 1974.
- [21] J. M. Manriquez, R. D. Sanner, R. E. Marsh, J. E. Bergaw. J. Am. Chem. Soc., 98, 3042, 1976.
- [22] M. W. Bee, S. F. Kettle, D. B. Powell. Spectrochim. Acta, 31A, 89, 1975.
- [23] M. W. Bee, S. F. Kettle, D. B. Powell. Spectrochim. Acta, 31A, 585, 1974.
- [24] R. Busby, W. Klotzbücher, G. A. Ozin. Inorg. Chem., 16, 822, 1977.
- [25] Л. М. Свердлов, М. А. Коннер, Е. П. Крайнов. Колебательные спектры многогатомных молекул. «Наука», М., 1970.
- [26] E. Maslowsky. Vibrational Spectra of Organometallic Compounds. New York—London—Toronto, 1976.
- [27] A. C. Albrecht. J. Chem. Phys., 34, 1476, 1961.
- [28] J. Tang, A. C. Albrecht. Raman Spectroscopy, vol. 2, Ed. Szymanski, N. Y., Plenum Press, 1970.
- [29] W. J. Lauchew, R. Hoffmann. J. Am. Chem. Soc., 98, 1729, 1976.

Поступило в Редакцию 21 марта 1979 г.